

УДК 547.824:542.91:548.737

**МОЛЕКУЛЯРНАЯ СТРУКТУРА
1,2,6,6,10,16,17-ГЕПТАМЕТИЛ-20-(АЦЕТОКСИМЕТИЛ)-ПЕНТАЦИКЛО-
[12.8.0.0^{2,11}.0^{5,10}.0^{15,20}]ДОКОЗ-17-ЕН-7-ИЛ АЦЕТАТА**

О.Б. Казакова¹, Э.Ф. Хуснутдинова¹, Н.И. Медведева¹, А.Н. Лобов¹, К.Ю. Супоницкий²

¹Институт органической химии УНЦ РАН, Уфа, e-mail: obf@anrb.ru

²Институт элементоорганических соединений им. А.Н. Несмеянова РАН, Москва

Статья поступила 29 июня 2011 г.

С доработки — 12 января 2012 г.

Определена молекулярная структура 3 β ,28-диацетокси-18 α H,19 β H-урсан-20-ена. Соединение C₃₄H₅₄O₄ **II** кристаллизуется в хиральной пространственной группе P2₁2₁2₁: *a* = 8,2721(6), *b* = 11,2728(8), *c* = 32,559(2) Å.

Ключевые слова: 3 β ,28-диацетокси-18 α H,19 β H-урсан-20-ен (1,2,6,6,10,16,17-гептаметил-20-(ацетоксиметил)пентацикло[12.8.0.0^{2,11}.0^{5,10}.0^{15,20}]докоз-17-ен-7-ил ацетат), рентгеноструктурный анализ.

Тriterпеноиды с двойной связью в цикле *E* являются платформами для окислительных трансформаций и получения соединений разнообразной молекулярной структуры и биологической активности [1—6]. Одним из интересных, но практически не исследованных объектов, является гетеробетулин (18 α H,19 β H-урсан-20-ен-3 β ,28-диол [7] или Δ^{20} таракстен-3 β ,28-диол [8]), образующийся из аллобетулина под действием C₆H₅COCl при 150 °C в пиридине [9]. Знание его молекулярной структуры необходимо как для подтверждения предложенного механизма образования такого типа соединений [10], так и для идентификации продуктов его синтетических превращений.

ЭКСПЕРИМЕНТАЛЬНАЯ ЧАСТЬ

1,2,6,6,10,16,17-Гептаметил-20-(ацетоксиметил)пентацикло[12.8.0.0^{2,11}.0^{5,10}.0^{15,20}]докоз-17-ен-7-ил ацетат **II.** Раствор 0,48 г (1 ммоль) ацетоксиаллобетулина **I** в 10 мл (100 ммоль) уксусного ангидрида и 0,008 мл (0,1 ммоль) HClO₄ кипятили с обратным холодильником в течение 12 ч. Реакционную массу упаривали, остаток промывали водой до исчезновения запаха, сушили на воздухе, хроматографировали на колонке с Al₂O₃, элюируя последовательно петролейным эфиром, бензолом. Выход соединения **II** составил 0,38 г (72 %). Кристаллы для рентгеноструктурного анализа получены кристаллизацией из бензола. Найдено, %: C 77,50; H 10,29. C₃₄H₅₄O₄. Вычислено, %: C 77,52, H 10,33, R_f 0,69. T_{пл} 292—293 °C. [α]₂₀^D + 10° (c 0,1, CHCl₃). Лит. [9]: T_{пл} 281—282 °C, [α]_D + 22° (c 2,0, CHCl₃).

Спектр ЯМР ¹H (CDCl₃, δ м.д, J Гц): 0,80 м (1H, H-5), 0,84 с (3H, H₃-24), 0,85 с (3H, H₃-23), 0,87 с (3H, H₃-25), 0,98 с (3H, H₃-27), 1,01 д (3H, H₃-29, ³J 6,3 Гц), 1,02 м (1H, H_{ax}-1), 1,04 м (1H, H_{eq}-15), 1,04 с (3H, H₃-26), 1,15 дд (1H, H_{ax}-16, ²J 12,4 Гц, ³J_{16ax-15ax} 14,2 Гц, ³J_{16ax-15eq} 3,9 Гц), 1,24 м (1H, H_{ax}-12), 1,25 дд (1H, H-18, ³J₁₈₋₁₃ 11,1 Гц, ³J₁₈₋₁₉ 8,0 Гц), 1,25 м (1H, H_{ax}-11), 1,32 дд (1H, H-9, ³J_{9-11ax} 12,2 Гц, ³J_{9-11eq} 3,1 Гц), 1,38 м (1H, H_{eq}-7), 1,40 ддд (1H, H_{ax}-6, ²J 12,4 Гц, ³J_{6ax-7ax} 14,1 Гц, ³J_{6ax-5} 13,1 Гц, ³J_{6ax-7eq} 3,4 Гц), 1,43 м (1H, H_{ax}-7), 1,50 ддд (1H, H_{eq}-6, ²J

12,4 Гц, ${}^3J_{6\text{eq}-7\text{ax}}$ 3,6 Гц, ${}^3J_{6\text{eq}-7\text{eq}}$ 3,2 Гц, ${}^3J_{6\text{eq}-5}$ 2,8 Гц), 1,53 м (1Н, H_{eq}-11), 1,53 м (1Н, H_{ax}-22), 1,56 ддд (1Н, H_{eq}-16, 2J 12,4 Гц, ${}^3J_{16\text{eq}-15\text{ax}}$ 3,6 Гц, ${}^3J_{16\text{eq}-15\text{eq}}$ 2,8 Гц), 1,59 м (1Н, H_{eq}-12), 1,62 м (1Н, H_{ax}-2), 1,63 ддд (1Н, H-13, ${}^3J_{13-11\text{ax}}$ 13,6 Гц, ${}^3J_{13-11\text{eq}}$ 11,6 Гц, ${}^3J_{13-11\text{eq}}$ 3,6 Гц), 1,64 с (3Н, H₃-30), 1,64 дкв (1Н, H-19, ${}^3J_{19-18}$ 8,0 Гц, ${}^3J_{19-29}$ 6,3 Гц), 1,65 м (1Н, H_{eq}-2), 1,71 ддд (1Н, H_{eq}-1, 2J 12,8 Гц, ${}^3J_{1\text{eq}-2\text{ax}}$ 3,5 Гц, ${}^3J_{1\text{eq}-2\text{eq}}$ 2,8 Гц), 1,75 ддд (1Н, H_{ax}-15, 2J 12,7 Гц, ${}^3J_{15\text{ax}-16\text{ax}}$ 14,2 Гц, ${}^3J_{15\text{ax}-16\text{eq}}$ 3,9), 2,00 дд (1Н, H_{eq}-22, 2J 15,8 Гц, ${}^3J_{22\text{eq}-15\text{eq}}$ 6,8 Гц), 2,03 (с, 3Н, H₃-34); 2,04 (с, 3Н, H₃-32), 3,82 (д, 1Н, H_a-28, 2J 0,7 Гц), 4,30 (д, 1Н, H_b-28, 2J 10,7 Гц), 4,48 дд (1Н, H-3, ${}^3J_{3-2\text{ax}}$ 10,6 Гц, ${}^3J_{3-2\text{eq}}$ 5,6 Гц), 5,23 дт (1Н, H-21, ${}^3J_{21-22\text{ax}}$ 6,8 Гц, ${}^3J_{21-22\text{eq}}$ 1,5, ${}^4J_{21-19}$ 1,5).

Спектр ЯМР ${}^{13}\text{C}$ (CDCl_3), δ, м.д.: 14,9 (C-27), 16,0 (C-26), 16,3 (C-24), 16,5 (C-25), 18,1 (C-6), 21,0 (C-32), 21,3 (C-34), 21,5 (C-11), 21,6 (C-29), 22,9 (C-30), 23,7 (C2), 26,7 (C-15), 27,5 (C-12), 27,9 (C-23), 30,4 (C-16), 34,0 (C-7), 35,2 (C-22), 36,0 (C-19), 36,9 (C-17), 37,2 (C-10), 37,8 (C-4), 38,4 (C-1), 38,5 (C-13), 41,1 (C-8), 42,1 (C-14), 48,5 (C-18), 50,3 (C-9), 55,3 (C-5), 61,9 (C-28), 80,8 (C-3), 117,6 (C-21), 140,0 (C-20), 170,9 (C-31), 171,3 (C-33).

Спектры ЯМР ${}^1\text{H}$ и ${}^{13}\text{C}$ записаны на импульсном спектрометре Bruker Avance III с рабочей частотой 500,13 МГц (${}^1\text{H}$) и 125,47 МГц (${}^{13}\text{C}$) с использованием 5 мм датчика с Z-градиентом PABBO при постоянной температуре образца 298 К. Химические сдвиги в спектрах ЯМР приведены в мольных долях (м.д.) относительно сигнала внутреннего стандарта тетраметилсилоана. Рентгеноструктурное исследование провели на дифрактометре Bruker SMART APEX II. Температуру плавления определяли на нагревательном столике Boetius. ТСХ-анализ проводили на пластинках Сорб菲尔 (ЗАО Сорбполимер, Россия), используя систему растворителей хлороформ-этилацетат, 40:1. Вещества обнаруживали 10 % раствором серной кислоты с последующим нагреванием при 100—120 °С в течение 2—3 мин.

РЕНТГЕНОСТРУКТУРНЫЙ АНАЛИЗ СОЕДИНЕНИЯ II

Бесцветные кристаллы $\text{C}_{34}\text{H}_{54}\text{O}_4$ ($M = 572,80$) при 100 К ромбические: $a = 8,2721(6)$, $b = 11,2728(8)$, $c = 32,559(2)$ Å, $V = 3036,1(4)$ Å³, пространственная группа $P2_12_1$, $Z = 4$, $d_{\text{выч}} = 1,152$ г/см³. Экспериментальный набор 38510 отражений получен на дифрактометре Bruker SMART APEX2 CCD ($\lambda\text{Mo}K_{\alpha}$ -излучение, $\theta_{\text{max}} = 30^\circ$) с монокристалла размером 0,29×0,23×0,16 мм. Обработку исходного массива измеренных интенсивностей проводили по программам SAINT и SADABS, включенных в программный пакет APEX2 [11]. Структура расшифрована прямым методом и уточнена полноматричным МНК в анизотропном приближении для неводородных атомов по F_{hkl}^2 . Атомы водорода помещали в геометрически рассчитанные положения и уточняли с использованием модели наездника ($U_{\text{iso}}(\text{H}) = nU_{\text{eq}}(\text{C}, \text{O})$, где $n = 1,5$ для атомов углерода метильных групп, $n = 1,2$ для остальных атомов С). При уточнении использовали 4956 независимых отражений ($R_{\text{int}} = 0,0690$). Сходимость уточнения по всем независимым отражениям $wR_2 = 0,1292$ ($R_1 = 0,0527$ по 4123 отражениям с $I > 2\sigma(I)$). Все расчеты проводились на IBM PC с использованием программного комплекса SHELXTL [12]. Координаты атомов и температурные факторы депонированы в Кембриджском банке структурных данных (CCDC) № 826890; <http://www.ccdc.cam.ac.uk/products/csd/request/>.

РЕЗУЛЬТАТЫ И ИХ ОБСУЖДЕНИЕ

Нами предложен синтез 3 β ,28-диацетокси-18 α Н,19 β Н-урсан-20-ена **II** путем кипячения ацетоксиаллобетулина **I** в уксусном ангидриде в присутствии хлорной кислоты с последующей хроматографической очисткой (выход 72 %). Вероятнее всего, под действием ацетил-иона происходит раскрытие тетрагидрофуранового цикла ацетоксиаллобетулина **I** с образованием карбкатиона **A** с последующим [1,2]-сигматропным сдвигом (промежуточное соединение **B**) и де-протонированием до соединения **II** (рис. 1).

Строение соединения **II** во многом сходно с ранее изученными нами пентациклическими тритерпеноидами [13—15]. Все циклы имеют *транс*-ориентацию относительно друг друга. Циклогексановые фрагменты (циклы **A**, **B**, **C**, **D**) характеризуются конформацией *кресло*, цик-

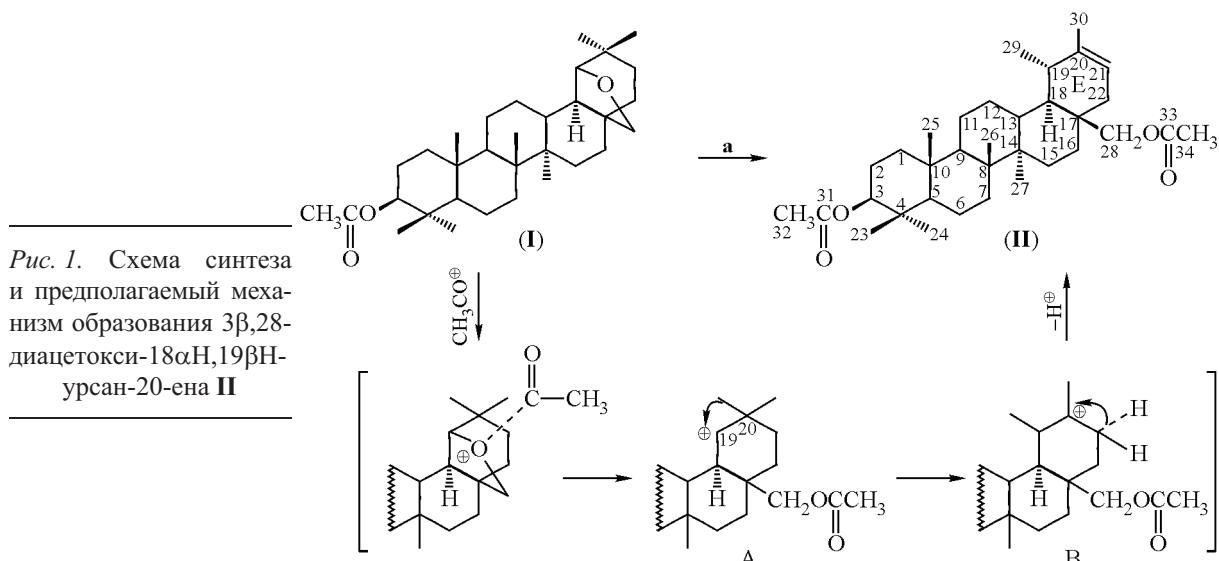


Рис. 1. Схема синтеза и предполагаемый механизм образования $3\beta,28$ -диацетокси- $18\alpha\text{H},19\beta\text{H}$ -урсан-20-ена **II**

логексен (цикл *E*) имеет конформацию, промежуточную между *софа* и *полукресло*. Абсолютная конфигурация **II** определена на основании известной конфигурации аллобетулина **I**, откуда следует, что атом C19 имеет *S*-конфигурацию, что соответствует предложенному механизму реакции.

С использованием метода ЯМР спектроскопии проведено полное отнесение сигналов атомов в спектрах соединения **II**. Отнесения сигналов проведены с использованием двумерных корреляционных методик COSY, HSQC и HMBC. Так, в спектрах ЯМР ^{13}C соединения **II** наблюдаются 34 сигнала, для которых с помощью спектров DEPT [16] проведено отнесение к четвертичным, метиновым, метиленовым и метильным группам. Положение сигналов четвертичных углеродных атомов C4, C8, C10, C14, C20, C17, C31 и C33 в спектрах ЯМР ^{13}C установлено на основании HMBC корреляций. Положение двойной связи установлено на основании вицинальных кросс-пиков

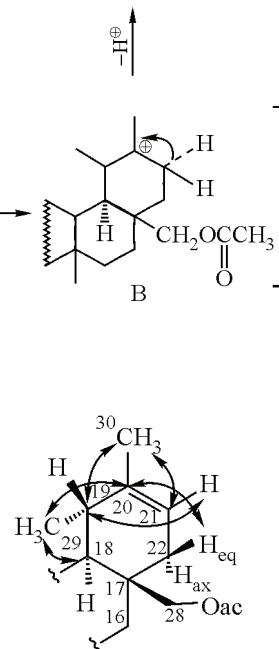


Рис. 2. Значимые HMBC корреляции в цикле *E* соединения **II**

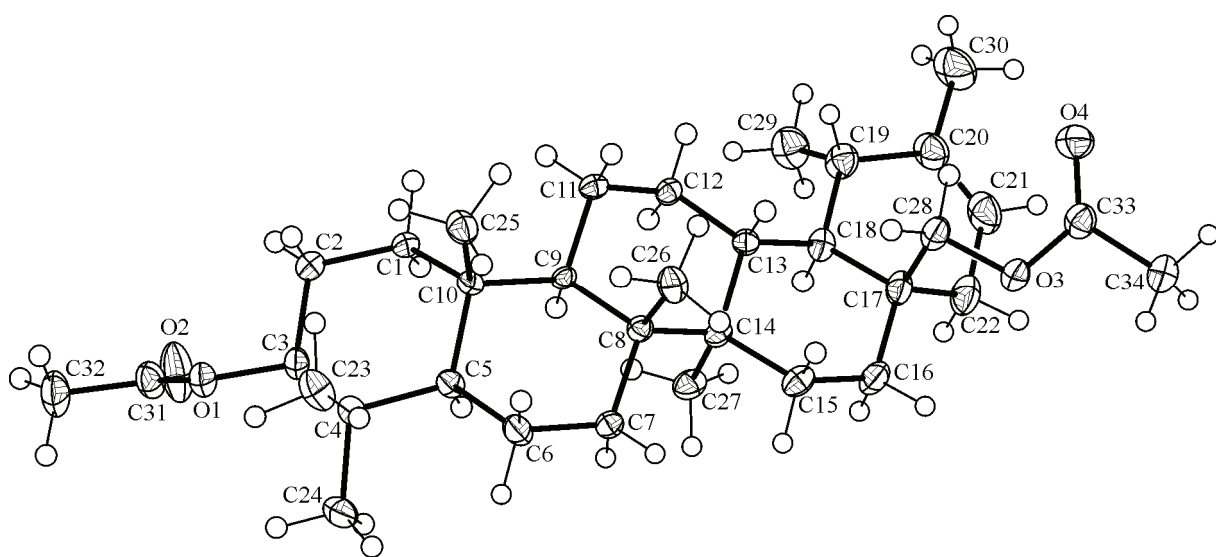


Рис. 3. Молекулярная структура $3\beta,28$ -диацетокси- $18\alpha\text{H},19\beta\text{H}$ -урсан-20-ена **II**

протонов метильных групп H₃-29 с C-18, H₃-29 с C-20, H₃-30 с C-19, H₃-30 с C-21, а также H-21 с C-19 и H_{eq}-22 с C-20 в спектрах НМВС (рис. 2, 3).

Протоны метиленовой группы в положении С-22 ($\delta_C = 35,22$ м.д.) в спектрах ЯМР ¹Н образуют АМХ-систему с дублет-дублетным расщеплением на протоне двойной связи. На α -конфигурацию протона H_{ax}-22 указывает кросс-пик H_{ax}-22/H-18 в спектре NOESY. Свидетельством в пользу предложенного положения заместителей в кольце Е служит наблюдаемая дальняя константа ⁴J_{21—19} со значением 1,5 Гц. Стереохимия положения H-19 определена с помощью NOESY спектра. В спектре NOESY наблюдаются кросс-пики между протонами H_b-28 и H_{ax}-15, H-13, а также между H_b-28 и H-19, что указывает β -ориентацию протона H-19.

ВЫВОДЫ

Впервые методами рентгеноструктурного анализа и ЯМР спектроскопии охарактеризована структура 3 β ,28-диацетокси-18 α H,19 β H-урсан-20-ена II.

СПИСОК ЛИТЕРАТУРЫ

1. *Fuchino H., Nozawa O., Tanaka N.* // Chem. Pharm. Bull. – 1994. – **42**, N 9. – P. 1745 – 1749.
2. *Денисенко М.В., Одинокова Л.В., Уварова Н.И.* // Химия природн. соед. – 1989. – **25**, № 5. – С. 655 – 664.
3. *Urban M., Klinot J., Tislerova I., Biedermann D., Hajduch M., Cisarova I., Sarek J.* // Synthesis. – 2006. – **23**. – Р. 3979 – 3986.
4. *Kvasnica M., Rudovska I., Cisarova I., Sarek J.* // Tetrahedron. – 2008. – **64**, N 17. – Р. 3736 – 3743.
5. *Флехтер О.Б., Медведева Н.И., Куковинец О.С., Спирюхин Л.В., Галкин Е.Г., Галин Ф.З., Голованов Д.Г., Павлова Н.И., Савинова О.В., Бореко Е.И., Толстиков Г.А.* // Биоорган. химия. – 2007. – **33**, № 6. – С. 629 – 634.
6. *Pu Zh., Jia H., Jun L., Luyong Zh., Hongbin S.* // Tetrahedron. – 2009. – **65**, N 18. – P. 4304 – 4309.
7. *Klinotova E., Bludska M., Klinot J.* // Collect. Czech. Chem. Commun. – 1989. – **54**, N 4. – P. 1036 – 1042.
8. *Klinot J., Vystreil A.* // Collect. Czech. Chem. Commun. – 1959. – **24**, N 15. – P. 3273 – 3277.
9. *Klinot J., Vystrcil A.* // Collect. Czech. Chem. Commun. – 1964. – **29**, N 2. – P. 516 – 530.
10. *Fruhstofer W.* // Chemische Berichte. – 1954. – **87**, N 3. – P. 423 – 435.
11. APEX2 and SAINT. Bruker AXS Inc., Madison, Wisconsin, USA, 2005.
12. *Sheldrick G.M.* // Acta Crystallogr. – 2008. – **A64**. – Р. 112 – 122.
13. *Казакова О.Б., Толстиков Г.А., Супоницкий К.Ю.* // Биоорган. химия. – 2010. – **36**, № 1. – С. 142 – 144.
14. *Казакова О.Б., Хуснутдинова Э.Ф., Толстиков Г.А., Супоницкий К.Ю.* // Биоорган. химия. – 2010. – **36**, № 4. – С. 552 – 555.
15. *Казакова О.Б., Хуснутдинова Э.Ф., Лобов А.Н., Зверева Т.И., Супоницкий К.Ю.* // Химия природн. соед. – 2010. – **46**, № 6. – С. 762 – 764.
16. *Doddrell D.M., Pegg D.T., Bendall M.R.* // J. Magn. Res. – 1982. – **48**, N 15. – P. 323 – 327.